

РЕЖИМЫ КОЛЬЦЕВОГО ЛАЗЕРА С ДОПОЛНИТЕЛЬНОЙ  
ОБРАТНОЙ СВЯЗЬЮ ПРИ ОДНОРОДНОМ УШИРЕНИИ

Н. Н. Розанов

Исследованы стационарные режимы и переходные процессы в кольцевом лазере с дополнительной обратной связью. Рассмотрение велось для случая однородного уширения в рамках теории Лэмба, но без использования приближения слабого поля. В важном специальном случае установлен мягкий характер возбуждения одноволнового режима бегущей волны и жесткое возбуждение двухволнового режима. Исследовано влияние различия добротностей для двух направлений, которое имеет место в резонаторе с невзаимным элементом. В линейном приближении без учета обратного рассеяния также показано существование в кольцевом лазере с дополнительным зеркалом двух режимов (однонаправленного и двухволнового).

Схема кольцевого лазера с дополнительным зеркалом была предложена в работах [1, 2] для получения режима бегущей волны. Анализ в линейном приближении [3, 4] позволил выявить важную роль паразитных отражений и необходимость существенного их уменьшения для получения максимального различия интенсивностей встречных волн. Экспериментальные исследования [4-6] подтвердили эффективность указанного способа осуществления режима бегущей волны, что повысило интерес к более полному теоретическому анализу системы.

Вообще говоря, теория кольцевого лазера с дополнительным зеркалом является частным случаем общей теории кольцевых лазеров при учете обратного рассеяния, интенсивно исследованной в связи с явлением захвата частот встречных волн [7]. Однако этот случай специфический, и он допускает более полный анализ. Как показали Зейгер и Фрадкин [8] (см. также [9]) на основании лэмбовской теории лазеров [10], помимо одноволнового режима бегущей волны, при определенных условиях возможно существование двухволновых режимов.

В настоящей работе для случая однородно уширенной линии проведен анализ стационарных режимов и переходных процессов в кольцевом лазере с дополнительной обратной связью. В отличие от [8], не использовалось приближение слабого поля ( $N/N_{\text{пор.}} - 1 \ll 1$ , где  $N$  и  $N_{\text{пор.}}$  — накачка и ее пороговое значение), что позволяет применять результаты для реально достижимых уровней накачки. Сделан вывод о жестком характере возбуждения двухволновых режимов. Исследовано влияние различия добротностей для двух направлений, которое имеет место при внесении в резонатор невзаимного элемента. В линейном приближении показано существование двух режимов. Отличие от [3, 4], где был найден только один (одноволновый) режим, связано с учетом резонанса в системе и неэкспоненциального изменения интенсивности одной из встречных волн.

## 1. Укороченные уравнения

Мы будем использовать в нашем случае (рис. 1) обычные в теории Лэмба [10] приближения и исходные уравнения работы [8], отказавшись,

однако, от условия слабости поля. Медленно меняющиеся амплитуды  $E_{1,2}$  встречных волн и разность их фаз  $\varphi = \varphi_2 - \varphi_1$  подчиняются уравнениям

$$\left. \begin{aligned} E_1 + \frac{1}{2} \frac{\nu}{Q_1} E_1 - \frac{1}{2} \frac{\nu}{Q_1} \varepsilon E_2 \cos \varphi &= -\frac{1}{2} \frac{\nu}{\varepsilon_0} \operatorname{Im} P_1, \\ E_2 + \frac{1}{2} \frac{\nu}{Q_2} E_2 &= -\frac{1}{2} \frac{\nu}{\varepsilon_0} \operatorname{Im} P_2, \\ \dot{\varphi} + \frac{1}{2} \frac{\nu}{Q_1} \varepsilon \frac{E_2}{E_1} \sin \varphi &= -\frac{1}{2} \frac{\nu}{\varepsilon_0} \left[ \frac{1}{E_2} \operatorname{Re} P_2 - \frac{1}{E_1} \operatorname{Re} P_1 \right]. \end{aligned} \right\} \quad (1)$$

Здесь  $Q_{1,2}$  — добротности для соответствующих направлений,  $\nu$  — частота генерации,  $\varepsilon_0$  — диэлектрическая проницаемость вакуума. Величина  $\varepsilon$  характеризует степень перекачки (по амплитуде)  $E_2 \rightarrow E_1$ . Явный вид величины  $g = \frac{1}{2} \frac{\nu}{Q} \varepsilon$  получен в [8] методом Слэтера, а также из рассмотрения линейной задачи в разд. 4 настоящей работы. Компоненты поляризации активной среды  $P_{1,2}$  выражаются через недиагональный элемент матрицы плотности, элементы которой считаем подчиняющимися следующим уравнениям движения:

$$\left. \begin{aligned} \dot{\rho}_{aa} &= -\gamma_a \rho_{aa} + iV(t)(\rho_{aa} - \rho_{bb}) + \lambda_a, \\ \dot{\rho}_{bb} &= -\gamma_b \rho_{bb} - iV(t)(\rho_{aa} - \rho_{bb}) + \gamma_1 \rho_{aa} + \lambda_b, \\ \dot{\rho}_{ab} &= -(\gamma + i\omega) \rho_{ab} + iV(t)(\rho_{aa} - \rho_{bb}). \end{aligned} \right\} \quad (2)$$

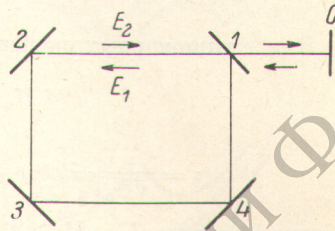


Рис. 1.

Здесь  $\omega$  — частота перехода между рабочими уровнями  $a$  и  $b$ ,  $\gamma_a$ ,  $\gamma_b$  и  $\gamma$  — параметры релаксации уровней, величина  $\gamma_1$  учитывает спонтанный распад  $a \rightarrow b$ , величины  $\lambda_{a,b}$  характеризуют интенсивность накачки на соответствующий уровень,  $V(t) = -(d/\hbar) E \exp(i\nu t)$  — потенциал взаимодействия,  $d$  — дипольный момент рабочего перехода. Проинтегрировав решение (2) по длине резонатора  $l$ ,<sup>1</sup> как это сделано в [11, 12], получим

$$P_1 = -\frac{1}{2} i \frac{d^2}{\hbar} (\lambda_a \gamma'_a - \lambda_b \gamma_b) \frac{D}{\gamma} f(E_1, E_2), \quad (3)$$

где

$$\left. \begin{aligned} f(E_1, E_2) &= \frac{1}{2BE_1} \left[ 1 - \frac{1 - BE_1^2 + BE_2^2}{\sqrt{(1 + BE_1^2 + BE_2^2)^2 - (2BE_1E_2)^2}} \right], \\ B &= \frac{2}{\gamma} L \left( \frac{1}{\gamma'_a} + \frac{1}{\gamma_b} \right) \left( \frac{1}{2} \frac{d}{\hbar} \right)^2, \\ \frac{1}{\gamma'_a} &= \frac{1}{\gamma_a} \left( 1 - \frac{\gamma_1}{\gamma_b} \right), \quad D = \frac{1}{1 + i \frac{\omega - \nu}{\gamma}}, \quad L = \frac{1}{1 + \left( \frac{\omega - \nu}{\gamma} \right)^2}. \end{aligned} \right\} \quad (4)$$

Выражение для  $P_2$  получается из (3) при замене  $E_1 \leftrightarrow E_2$ . В отличие от [8], поле при вычислении поляризаций не считалось слабым. Введем относительные накачки (по сравнению с пороговыми значениями)  $n_{1,2}$  соответствующих однонаправленных режимов при  $\varepsilon = 0$ , причем

$$\frac{\nu}{Q_1} n_1 = \frac{\nu}{Q_2} n_2, \quad (5)$$

а также безразмерные интенсивности (в единицах насыщения)

$$U = BE_1^2, \quad V = BE_2^2.$$

Из (1) и (3) вытекает существование чисто одноволнового режима  $V = 0$ ,  $U = n_1 - 1$ , который устойчив, если  $n_1^2 > n_2$  (мы считаем  $n_{1,2} \geq 1$ ).

<sup>1</sup> Если длина слоя активной среды  $l_a$  не совпадает с длиной резонатора, в (3) следует ввести множитель  $l_a/L$ . Кроме того, имеются дополнительные быстро осциллирующие при изменении  $l_a$  слагаемые, зависящие от разности фаз  $\varphi$ , однако их учет практически являлся бы превышением точности расчета.

В дальнейшем при исследовании двухволновых режимов ( $U, V > 0$ ) ограничимся случаем настройки на центр контура  $\nu = \omega$ , когда  $\text{Re } P_{1,2}$ . Тогда из последнего уравнения системы (1) следует, что устойчивым может быть только решение  $\varphi = 0$  (считаем  $\varepsilon > 0, E_{1,2} > 0$ ). При этом укороченные уравнения для интенсивностей встречных волн примут вид

$$\left. \begin{aligned} \frac{dU}{dt} &= \frac{\nu}{Q_1} \left( -U + \frac{1}{2} n_1 T_1 + \varepsilon \sqrt{UV} \right), \\ \frac{dV}{dt} &= \frac{\nu}{Q_2} \left( -V + \frac{1}{2} n_2 T_2 \right), \end{aligned} \right\} \quad (6)$$

где

$$\left. \begin{aligned} T_1 &= 1 - \frac{1 - U + V}{\sqrt{(1 + U + V)^2 - 4UV}}, \\ T_2 &= 1 - \frac{1 + U - V}{\sqrt{(1 + U + V)^2 - 4UV}}. \end{aligned} \right\} \quad (7)$$

Для стационарных решений  $U_0, V_0$  системы (6) имеем

$$U_0 = V_0 - 1 + \frac{n_2 - 2V_0}{\sqrt{n_2 - V_0}}, \quad (8)$$

$$\varepsilon = \frac{1}{\sqrt{U_0 V_0}} \left[ U_0 - \frac{1}{2} n_1 + \frac{1}{2} \frac{n_1}{n_2} (1 - U_0 + V_0) \sqrt{n_2 - V_0} \right], \quad (9)$$

причем условию  $U_0, V_0 > 0$  отвечает неравенство

$$0 < V_0 < n_2 - 1. \quad (10)$$

## 2. Анализ случая равных добротностей

Считаем  $Q_1 = Q_2 = Q, n_1 = n_2 = n > 1$ . Одномодовый режим при этом устойчив. Зависимость интенсивностей волн в стационарном двухволновом режиме изображена на рис. 2. Сплошные кривые относятся к устойчивому режиму, штриховые — к неустойчивому (типа седла), знание

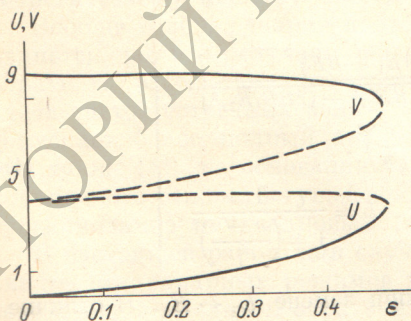


Рис. 2.  $n=10$ .

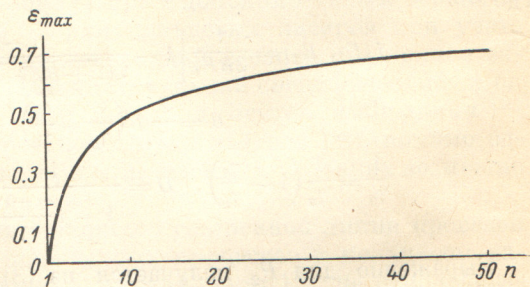


Рис. 3.

которого потребуется нам для определения областей притяжения устойчивых режимов. Для устойчивого режима различие интенсивностей наибольшее при  $\varepsilon = 0$  ( $V = n - 1, U = 0$ ). При возрастании величины обратной связи  $\varepsilon$  эта разница уменьшается. При малых  $\varepsilon \ll 1$

$$U = \frac{n^2}{n-1} \varepsilon^2, \quad V = n - 1 - \frac{2n}{n-1} \varepsilon^2. \quad (11)$$

Существенным является наличие зависящего от накачки  $\varepsilon_{\text{max}}$  такого, что при  $\varepsilon > \varepsilon_{\text{max}}$  существует (и устойчив) только однонаправленный режим. Зависимость  $\varepsilon_{\text{max}}(n)$  представлена на рис. 3. Отметим, что вычисленная в [8] в принятом приближении слабого поля ( $n - 1 \ll 1$ ) зависимость  $\varepsilon_{\text{max}}$  от  $n$  является линейной.

Таким образом, при  $\varepsilon < \varepsilon_{\max}$  имеется два устойчивых стационарных режима — одноволновой и двухволновой. Возникает вопрос о том, какие начальные условия отвечают возбуждению этих режимов, т. е. каковы области их притяжения. Отметим сразу, что результаты, вообще говоря, зависят от начального значения разности фаз волн  $\varphi_0$ . Поэтому полный анализ может быть проведен на основе системы (1), включающей фазовое уравнение. В настоящем разделе мы ограничимся рассмотрением двух противоположных случаев:  $\varphi_0=0$  и  $\varphi_0=\pi$ , которые сводятся к анализу только амплитудных уравнений.<sup>2</sup> Вопрос о влиянии начальной разности фаз обсуждается в разд. 4 настоящей работы.

Рассмотрим сначала простейший случай системы (6) — отсутствие дополнительной связи ( $\varepsilon=0$ ). При этом устойчивы два одноволновых режима: I.  $V=0, U=n-1$  и II.  $U=0, V=n-1$ . Нетрудно видеть, что фазовая плоскость  $U, V$  системы (6) делится на области притяжения этих режимов прямой  $U=V$ , которая является сепаратрисой, входящей в седло — неустойчивую точку покоя, для которой  $U_0=V_0$ . Качественная картина фазовой плоскости изображена на рис. 4, а, причем для удобства анализа мы вернулись к переменным  $E_1, E_2$  (считаем  $E_2 > 0, E_1$  — любого знака). Рис. 4, а качественно совпадает с приведенным в [10] видом фазовой плоскости для случая «сильной связи» двух мод.

При малых  $\varepsilon$  расположение седел III и их сепаратрис несколько меняется. Но по-прежнему разграничивающие области притяжения режимов I и II сепаратрисы седел III выходят из неустойчивой точки покоя  $E_1=E_2=0$  («грубость» системы). Определим характер траекторий (и, в частности, сепаратрис) в окрестности начала координат. Линеаризованные по амплитудам уравнения движения имеют вид

$$\left. \begin{aligned} \frac{dE_1}{d\tau} &= aE_1 + \varepsilon E_2, \\ \frac{dE_2}{d\tau} &= aE_2, \end{aligned} \right\} \quad (12)$$

где  $a = n - 1, \tau = \frac{1}{2} \frac{\nu}{Q} t$ , откуда

$$\left. \begin{aligned} E_1(\tau) &= [E_1(0) + \varepsilon E_2(0) \tau] e^{a\tau}, \\ E_2(\tau) &= E_2(0) e^{a\tau}. \end{aligned} \right\} \quad (13)$$

Исключая безразмерное время  $\tau$ , находим

$$E_1(\tau) = E_2(\tau) \left\{ \frac{E_1(0)}{E_2(0)} + \frac{\varepsilon}{a} \ln \left[ \frac{E_2(\tau)}{E_2(0)} \right] \right\}. \quad (14)$$

Из (14) следует, что траектории, проходящие через точку  $(E_1(0), E_2(0))$ , пересекают ось  $E_2$  (т. е.  $E_1=0$ ) при

$$E_2 = E_2(0) \exp \left[ -\frac{a}{\varepsilon} \frac{E_1(0)}{E_2(0)} \right]. \quad (15)$$

Формально при  $\tau \rightarrow -\infty$  траектории входят в точку  $E_1=E_2=0$  со стороны отрицательных  $E_1$  с касательной, направленной по оси  $E_1$ . Качест-

<sup>2</sup> Удобнее считать  $\varphi_0=0$  и допускать возможность отрицательных  $E_1$  (считаем  $E_2 > 0$ ).

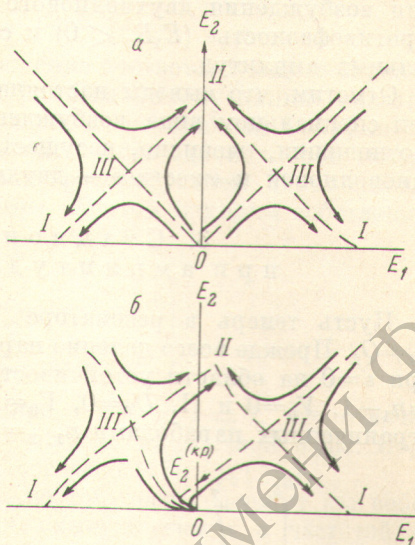


Рис. 4. а —  $\varepsilon=0$ ; б —  $\varepsilon \neq 0$ .  $\varepsilon=0$  и  $\varepsilon \neq 0$  (б).

венная картина фазовой плоскости при  $\epsilon \neq 0$  представлена на рис. 4, б. Для изображенной штриховой линией одной из интересующих нас сепаратрис  $E_2 = E_2^{(кр.)}$  при  $E_1 = 0$ . Существенно, что  $E_3^{(кр.)} > 0$ . При  $E_1 = 0$  начальные значения  $E_2 < E_2^{(кр.)}$  приводят к одноволновому режиму I, а для возбуждения двухволнового режима II требуется  $E_2 > E_2^{(кр.)}$  (жесткое возбуждение). Как следует из (14) и из рис. 4, б, при достаточно малых «случайных» начальных интенсивностях с вероятностью, весьма близкой к единице, происходит возбуждение одноволнового режима. Для возбуждения двухволнового режима при этих условиях требуется «противофазность» ( $E_1 E_2 < 0$ ) и сильное (но не чрезмерно) различие начальных амплитуд.

Отметим, что выводы настоящего раздела полностью сохраняют силу при специальном виде возбуждения  $E_1(0) = 0, U_1(0) = 0$ , когда фазовые соотношения, очевидно, несущественны. При этом «мягко» возбуждается одноволновой и «жестко» — двухволновой режим.

### 3. Стационарные режимы при амплитудной невзаимности

Пусть теперь в резонаторе имеются невзаимные потери, так что  $Q_1 \neq Q_2$ . Прежде всего деление параметров  $n_1$  и  $n_2$  (относительных накачек) при  $\epsilon = 0$  на области устойчивости двух одноволновых режимов (I.  $U_0 = n_1 - 1, V_0 = 0$  и II.  $U_0 = 0, V_0 = n_2 - 1$ ) показано на рис. 5. В областях, ограниченных параболой  $n_1, 2 = n_2^2$ , и координатными осями, возможен

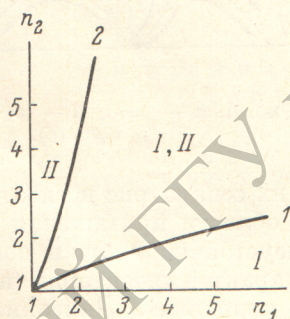


Рис. 5.  $\epsilon = 0$ .

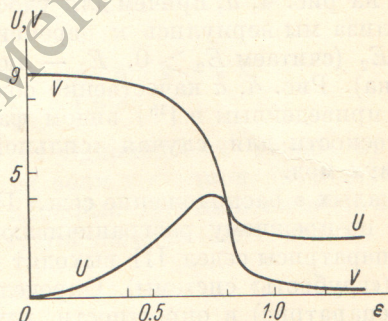


Рис. 6.  $n_1 = 2, n_2 = 10$ .

только один однонаправленный режим. В области между параболой в зависимости от начальных условий реализуется любой из двух однонаправленных режимов. Устойчивых двухволновых режимов не имеется.

Соотношение  $n_1$  и  $n_2$  существенным образом определяет тип решения и при  $\epsilon \neq 0$ . В области между параболой картина качественно такая же, как и в предыдущем разделе (при  $n_1 = n_2$ ). При  $n_1^2 < n_2$  не имеется  $\epsilon_{\max}$  — двухволновой режим устойчив при любых  $\epsilon$ , при этом одноволновой режим  $U_0 = n_1 - 1, V_0 = 0$  неустойчив. Формально при больших  $\epsilon$   $V_0 \rightarrow 0, U_0 \rightarrow \sqrt{n_2} - 1$  (рис. 6). Наконец, при  $n_1 > n_2^2$  (одноволновой режим устойчив), как показывают расчеты, устойчивых двухволновых режимов не имеется.

### 4. Линейное рассмотрение кольцевого лазера с дополнительной обратной связью

В кольцевом лазере без дополнительного зеркала ( $\epsilon = 0$ ), очевидно, существуют два однонаправленных режима бегущих волн. Поэтому естественно ожидать, что при введении слабой обратной связи (рис. 1) возможны два режима: I — чисто одноволновой и II — почти одноволновой с малой примесью встречной волны. Такие представления согласу-

ются с выводами работы [8] и результатами предыдущих разделов настоящей работы. Однако в работах [3, 4] на основании линейного рассмотрения был сделан вывод о том, что в кольцевом лазере с дополнительным зеркалом возможен только один режим — однонаправленная (в отсутствие паразитных отражений) генерация. Ниже в рамках более детальной линейной теории получено существование двух режимов указанного типа.

Рассмотрим вначале режимы лазера с невзаимным элементом. Можно считать, что для встречных волн различное значение имеют величины

$$p_j = r_1 r_2 r_3 r_4 e^{\alpha l} \Theta_j, \quad j = 1, 2, \quad (16)$$

где  $r_k$  — амплитудный коэффициент отражения соответствующего зеркала,  $\Theta_j$  — амплитудный комплексный коэффициент пропускания невзаимного элемента для соответствующей волны,  $\alpha$  — линейный коэффициент усиления активной среды. Поскольку возможность одноволновой генерации не вызывает сомнений, ограничимся рассмотрением двухволновых режимов. Для волны  $E_2$  (рис. 1) обычным образом находим собственные типы колебаний.

На интервале между зеркалами 1 и 2

$$\left. \begin{aligned} E_2(z, t) &= E_{2,0} \exp[-i(\omega_2 t - k_2 z)], \\ \omega_2 &= 2\pi \frac{c}{l} N_2 - i \frac{c}{l} \ln \frac{1}{p_2}, \quad k_2 = \omega_2 / c, \end{aligned} \right\} \quad (17)$$

где  $E_{2,0}$  — начальная амплитуда поля (при  $t=0$  и  $z=0$ , что отвечает координате зеркала 1), целое число  $N_2$  — индекс продольной моды. Пороговое условие имеет вид  $\text{Im } \omega_2 > 0$  или, согласно (17),  $|p_2| > 1$ .

Волна  $E_1$  «подпитывается» волной  $E_2$ , поэтому она содержит как собственные колебания с частотой  $\omega_1$ , так и «вынужденные» с частотой  $\omega_2$ . Аналогично (17) собственные колебания имеют вид

$$\left. \begin{aligned} E_1^{(c)} &= E_{1,0}^{(c)} \exp[-i(\omega_1 t + k_1 z)], \\ \omega_1 &= 2\pi \frac{c}{l} N_1 - i \frac{c}{l} \ln \frac{1}{p_1}, \quad k_1 = \omega_1 / c. \end{aligned} \right\} \quad (18)$$

Пороговое условие для них  $|p_1| > 1$ . Для вынужденных колебаний

$$E_1^{(v)} = \left(1 - \frac{p_1}{p_2}\right)^{-1} t_1^2 r_0 E_{2,0} e^{2i\varphi_{1,0}} \exp[-i(\omega_2 t + k_2 z)], \quad (19)$$

где  $\varphi_{1,0}$  — фазовый набег на участке между зеркалами 0 и 1,  $t_1$  — амплитудный коэффициент пропускания зеркала 1. При  $E_{1,0}^{(c)} = 0$  уравнения (17) и (19) дают двухволновой режим, переходящий при  $r_0 \rightarrow 0$ , как и следовало ожидать, в соответствующий одноволновой режим.

Будем интересоваться временным поведением поля  $E_1$  в точке  $z=0$ . Объединяя (18) и (19), перепишем  $E_1$  в виде

$$E_1(t) = e^{-i\omega_1 t} \left\{ E_1(0) + \left(1 - \frac{p_1}{p_2}\right)^{-1} t_1^2 r_0 e^{2i\varphi_{1,0}} E_{2,0} [e^{-i(\omega_2 - \omega_1)t} - 1] \right\}. \quad (20)$$

Рассмотрим на основании (20) характер временного изменения поля при отсутствии невзаимного элемента, переходя в (20) к пределу  $p_1 - p_2 \rightarrow 0$ . Используя (17) и (20), для любых конечных  $t$  находим (считаем  $N_1 = N_2$  — одна продольная мода)

$$E_1(t) = [E_1(0) + g E_{(2)}(0) t] e^{-i\omega t}, \quad E_2(t) = E_2(0) e^{-i\omega t}, \quad (21)$$

где

$$g = i \frac{c}{l} t_1^2 r_0 e^{2i\varphi_{1,0}}. \quad (22)$$

Без ограничения общности можно считать  $E_2(0) > 0$  и положить  $g = |g|$  (учет фазы величины  $g$  привел бы лишь к сдвигу фазы волны  $E_1$ ). Выражение (22) совпадает с определением  $g$  в работе [8] и согласуется с (13) при  $g = \frac{1}{2} \frac{v}{Q} \epsilon$ . Соответственно справедливой остается и формула (14).

Отличие состоит в том, что в (21)  $E_1(0)$  может быть комплексной. Для величины  $\text{Re } E_1$  получаем траектории, изображенные на рис. 4, б. Для  $\text{Im } E_1$  траектории — лучи, проходящие через начало координат,

$$\frac{\text{Im } E_1(t)}{\text{Im } E_1(0)} = \frac{E_2(t)}{E_2(0)}. \quad (23)$$

В отличие от прежнего случая при  $\text{Im } E_1(0) \neq 0$  поле  $E_1$  не обращается в нуль:  $|E_1| \neq 0$ . При  $E_1(0) = 0$  результаты разд. 3, конечно, справедливы. Из (21) видно, что при

$$|E_2(0)/E_1(0)| \geq 1 \quad (24)$$

за время порядка  $t_\varphi = |E_1(0)/[g E_2(0)]|$  устанавливается разность фаз  $\varphi = 0$ . Поэтому если время линейного развития генерации превосходит  $t_\varphi$ , то при условии (24) значение начальной разности фаз несущественно.

Неэкспоненциальный характер изменения  $E_1$  в (21) является следствием резонанса — точного совпадения собственных частот встречных волн  $\omega_1$  и  $\omega_2$  в кольцевом лазере без невазимного элемента. Именно вследствие неэкспоненциального изменения во времени решения этого типа не были найдены в работах [3, 4]. Для избежания этой трудности в нашем случае было целесообразно ввести в рассмотрение невазимость какого-либо параметра и исследовать предельный переход при уменьшении невазимности до нулевого значения.

В заключение отметим, что в настоящей работе использованы основные приближения теории Лэмба [10]. Существенно, что при исследовании устойчивости стационарных режимов нами не учитывались релаксационные колебания, являющиеся основной причиной пульсаций излучения твердотельных лазеров. Соответственно полученные результаты применимы, вообще говоря, лишь для лазеров, у которых отсутствует пиковая структура излучения.

#### Литература

- [1] С. \* Н. Багаев, В. С. Кузнецов, В. Ю. Троицкий, Б. И. Трошин, Письма в ЖЭТФ, 1, 21, 1965.
- [2] M. Hercher, M. Young, C. Smover. J. Opt. Phys., 36, 3351, 1965.
- [3] В. Ю. Петрунькин, Н. А. Есепкина, С. В. Кружалов, Л. Н. Пахомов, В. А. Чернов. Радиотехника и электроника, 12, 146, 1967.
- [4] А. М. Бонч-Бруевич, В. Ю. Петрунькин, Н. А. Есепкина, С. В. Кружалов, Л. Н. Пахомов, В. А. Чернов, С. Л. Галкин. ЖТФ, 37, 2031, 1967.
- [5] А. М. Бонч-Бруевич, В. Ю. Петрунькин, Н. А. Есепкина, С. В. Кружалов, Л. Н. Пахомов, В. А. Чернов. Ж. прикл. спектр., 4, 540, 1967.
- [6] В. В. Анциферов, Г. В. Кривошеков, В. С. Пивцов, К. Г. Фоллин. ЖТФ, 39, 931, 1969.
- [7] В. Е. Привалов, С. А. Фридрихов. Усп. физ. наук, 97, 377, 1969.
- [8] С. Г. Зейгер, Э. Е. Фрадкин. Изв. вузов, радиофизика, 11, 519, 1968.
- [9] Ю. П. Гудков. Опт. и спектр., 35, 919, 1973.
- [10] W. E. Lamb. Phys. Rev., 134, A1419, 1964.
- [11] Л. А. Островский, Е. И. Якубович. ЖЭТФ, 46, 961, 1964.
- [12] Т. И. Кузнецова, С. Г. Раутиан. Изв. вузов, радиофизика, 7, 682, 1964.

Поступило в Редакцию 28 июня 1973 г.